



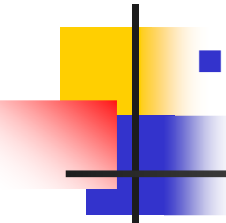
Desintégrations semileptoniques  
du charm dans BaBar.

Exemple:  $D^+ \rightarrow K^- \pi^+ e^+ \nu$

**Arantza Oyanguren(IFIC Valencia), João Costa  
,Justine Serrano,Patrick Roudeau**

*LAL Orsay*





- JRJCpedia ou *"A hitchiker's guide to the title"*

---

- Introduction

- Overview de l'analyse

- Controle du background, corrections au MC

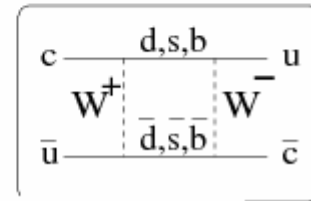
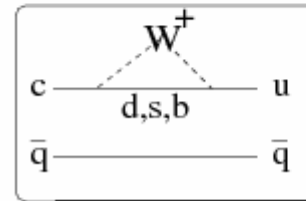
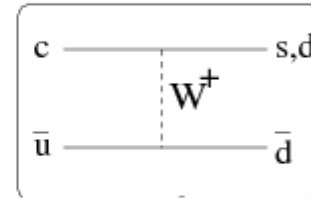
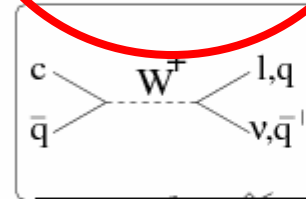
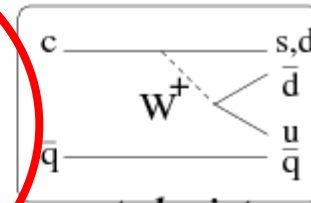
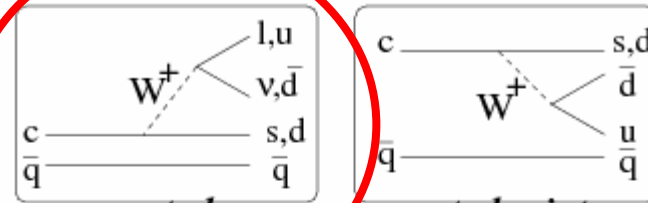
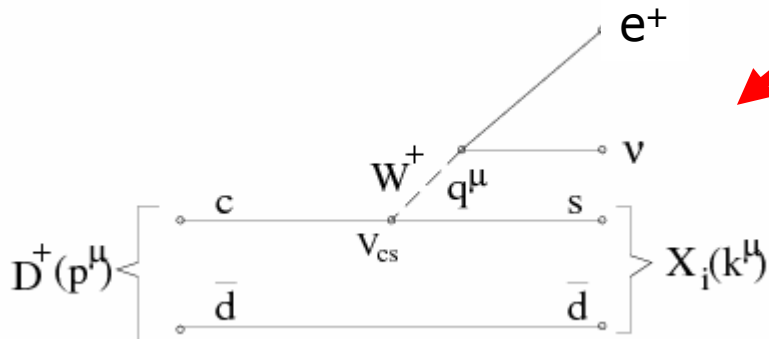
- Procedure de Fit

- Conclusions et perspectives

JRJC PEDIA:

• D meson = état lié (quark c, antiquark q)

• Desintégrations semileptoniques:



lepton est la signature de cette desintégration

On travaille dans un environnement propre pour étudier le système  $X_i$  hadronique

element de matrice du processus:


$$\mathcal{M} = \frac{G_F}{\sqrt{2}} V_{cs} \mathcal{H}^\alpha \mathcal{L}_\alpha$$

$$\mathcal{H}^\alpha = \langle X_i | V^\alpha - A^\alpha | D \rangle$$

$$\mathcal{L}_\alpha = \bar{u}_\nu \gamma_\alpha (1 - \gamma^5) u_\mu$$

← **Défini a partir des observables 4-V et de *facteurs de forme***

← **Forme bien définie**

**!! Factorisation des termes hadronique et leptonique !!**

**Mesure de précision des facteurs de forme**

**Facteurs de forme (f.f.)** representent toute l'interaction entre les hadrons. Mais on ne peut pas calculer les f.f. à partir de principes premiers de **QCD**. Faut recourir à des **modèles**.

- Le courant hadronique pour différentes desintégrations:

**Cas D → P e ν, desintégration dans un état pseudo-scalaire**

$$\langle X^{\text{escalar}}(k) | V^\mu - A^\mu | D(p) \rangle = f_+(q^2) (p+k)^\mu - \left( \frac{M_D - m_{K\pi}}{M_D + m_{K\pi}} \right) f_-(q^2) q^\mu$$

seulement la composante vectorielle du courant V-A rentre en jeu, on a 2 f.f.

**Cas D → V e ν, desintégration dans un état vecteur**

$$\begin{aligned} \mathcal{H}^\mu &= \langle X^{\text{vector}}(k) | V^\mu - A^\mu | D(p) \rangle \\ &= (M_D + m_{K\pi}) A_1(q^2) \epsilon^{*\mu} - \frac{2 A_2(q^2)}{M_D + m_{K\pi}} \epsilon^* \cdot p p^\mu \\ &+ \frac{2 A_3(q^2)}{M_D + m_{K\pi}} \epsilon^* \cdot p q^\mu - i \frac{2 V(q^2)}{M_D + m_{K\pi}} \epsilon^{\mu\nu\rho\sigma} \epsilon_\nu^* p_\rho k_\sigma \end{aligned}$$

4 f.f.,  
ε\* vecteur de polarisation de l'état final

Dans le cas d'un electron f<sub>-</sub> et A<sub>3</sub> disparaissent car sont proportionnelles a la mass de l'electron ~0

Ce qu'il faut retenir:

Les desintégrations semileptoniques sont un outil qui utilise les interactions électrofaibles pour étudier des effets de QCD

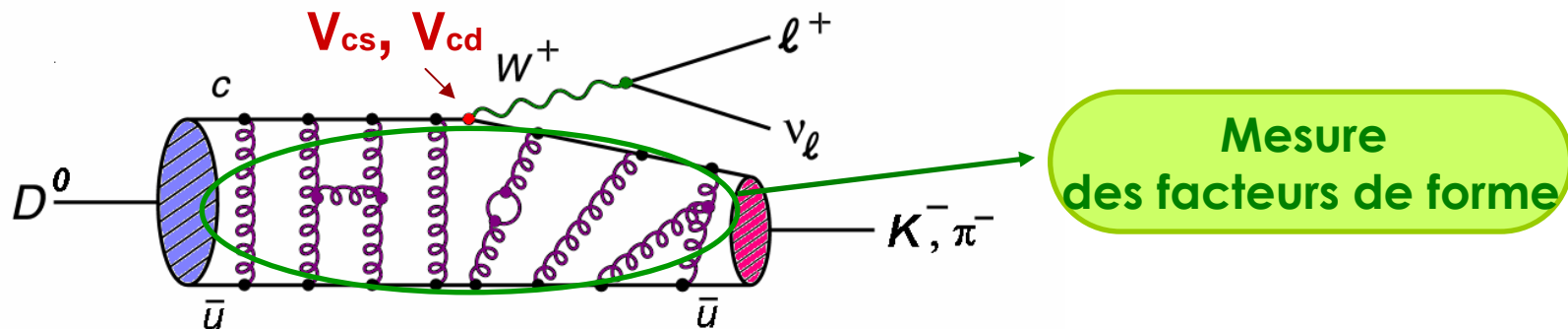
## ...Introduction

Pour extraire des valeurs de paramètres électrofaibles (éléments de la matrice CKM) de certaines mesures on a besoin de connaître la valeur de paramètres hadroniques.

Il y a un grand effort de la communauté LQCD pour améliorer les méthodes de calcul qui débouchent sur une plus grande précision

Il faut les valider

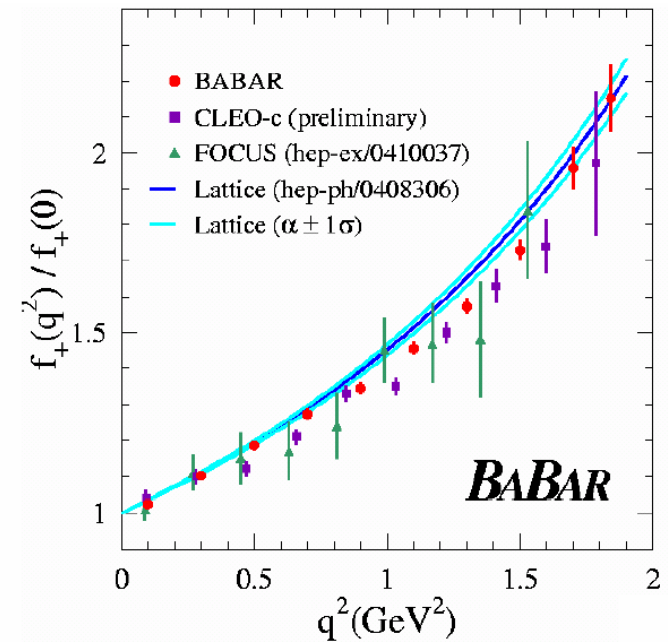
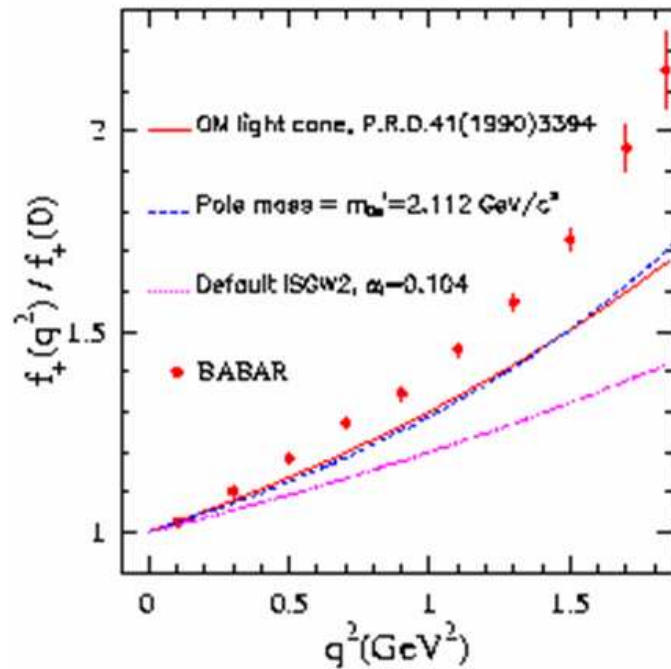
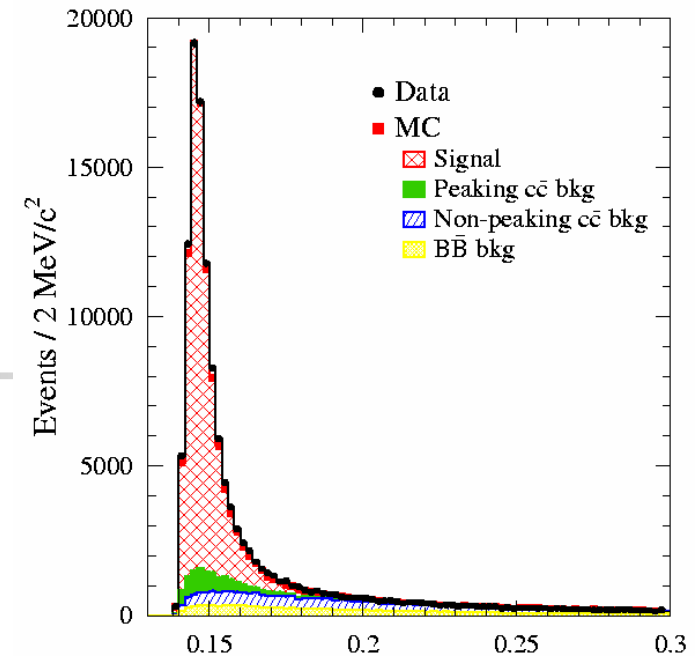
“Charm semileptonic decays”



Dans d'autres mots:

•  $D \rightarrow K e \nu$ :

On exclut des modèles et on obtient des résultats même plus précis que LQCD

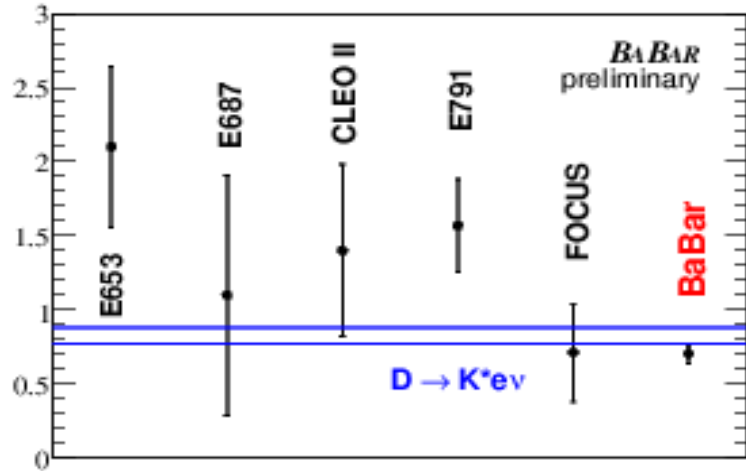


ão Costa, JRJC 200  
15 Décembre 2007

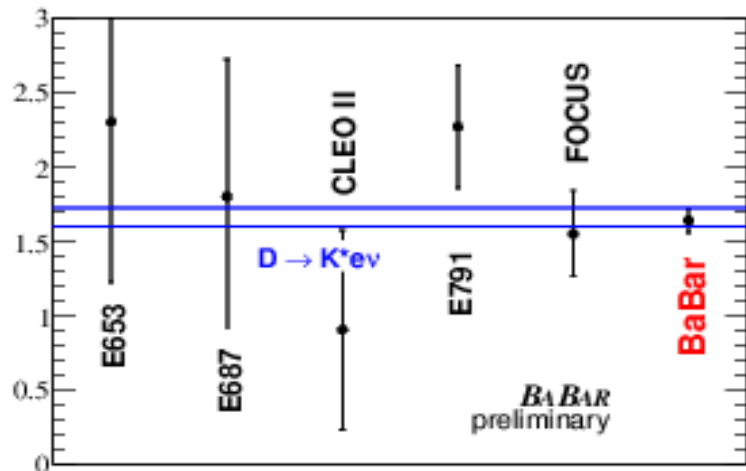
•  $D_s \rightarrow \phi e \nu$ :

quelques résultats préliminaires

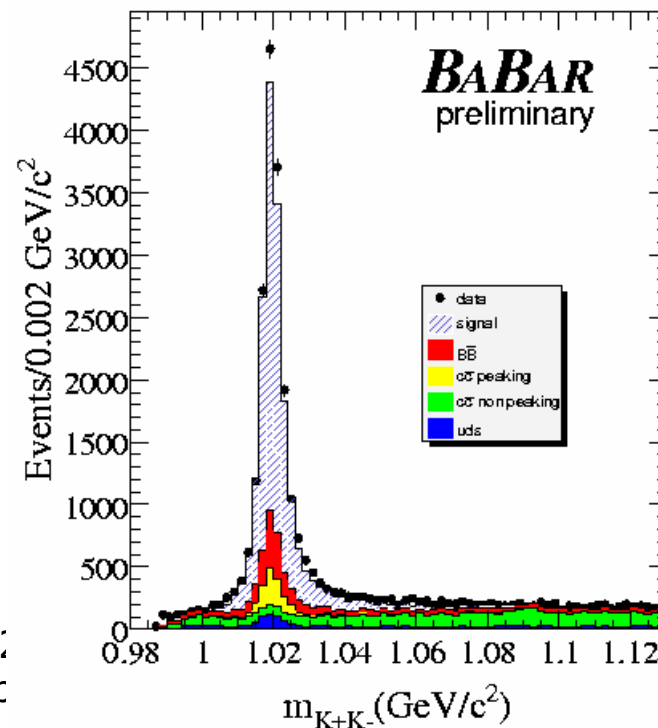
$r_2$



$r_V$



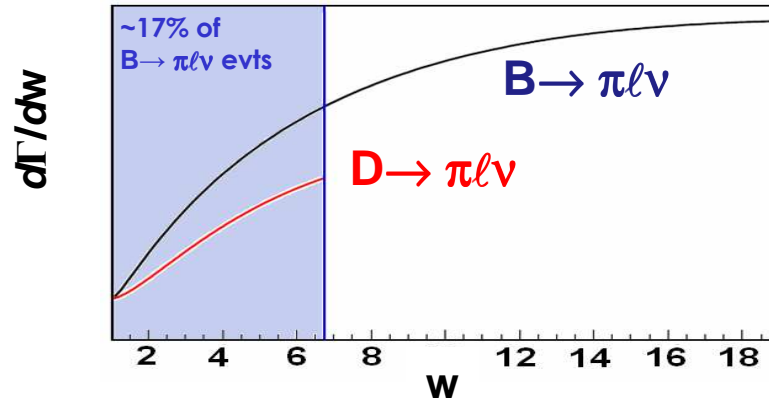
$r_2$  et  $r_V$  sont les rapports entre différents facteurs de forme a  $q^2$  égale à 0



, JRJC :  
Décemb

Techniques validées dans le secteur du charme peuvent être utilisées dans le secteur du B pour améliorer la précision dans les déterminations des paramètres de la matrice CKM

$$\frac{d\Gamma(B \rightarrow \pi e \bar{\nu}_e)/dE_\pi}{d\Gamma(D \rightarrow \pi e \bar{\nu}_e)/dE_\pi} = \left| \frac{V_{ub}}{V_{cd}} \right|^2 \left( \frac{M_B}{M_D} \right) \left| \frac{f_+^{B \rightarrow \pi}}{f_+^{D \rightarrow \pi}} \right|^2$$



Decay SL Charme

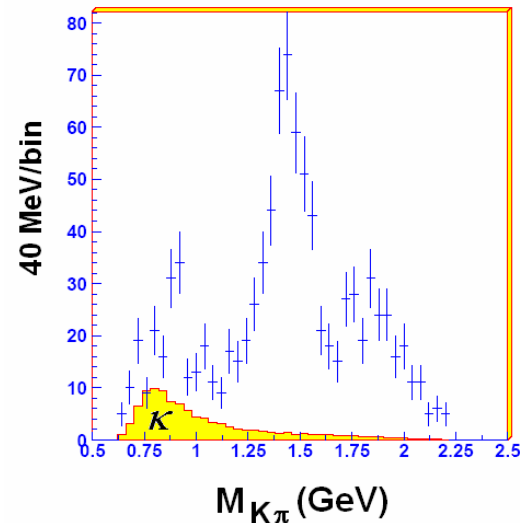
Travail pour LQCD

**Les désintégrations semileptoniques du charme permettent aussi d'obtenir d'autres informations importantes:**

ex: déphasage entre différents états orbitaux en désintégrations semileptoniques à 4 corps ( $D_{14}$ )

ex: masse du système hadronique en désintégrations semileptoniques à 4 corps ( $D_{14}$ ):

$D \rightarrow K\pi l\nu$ ,  $D_s \rightarrow KK l\nu$ , ... (in particular,  $0^+$  states)



**$J/\psi \rightarrow K^*(892)^0 K^+ \pi^-$**

(BES, hep-ex/0304001)

ex: détermination de paramètres de théorie chirale, détermination de la masse du quark  $s$



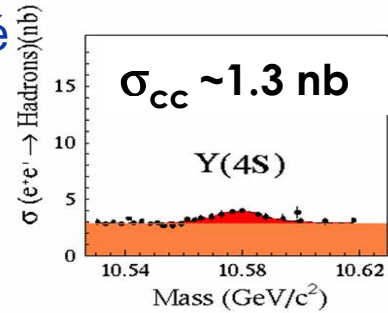
# BaBar vs CLEO-c



⊕

Grande luminosité  
intégrée

>400 fb<sup>-1</sup>



⊕ fragmentation (D, D<sub>s</sub>, Λ<sub>c</sub>, ...)

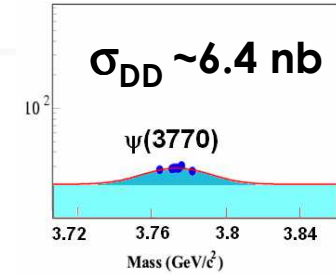
⊖ grand challenge : controle du bruit fond

⊕

Pur DD<sup>-</sup>, pas de particules  
en plus

⊕

moins de bruit  
de fond

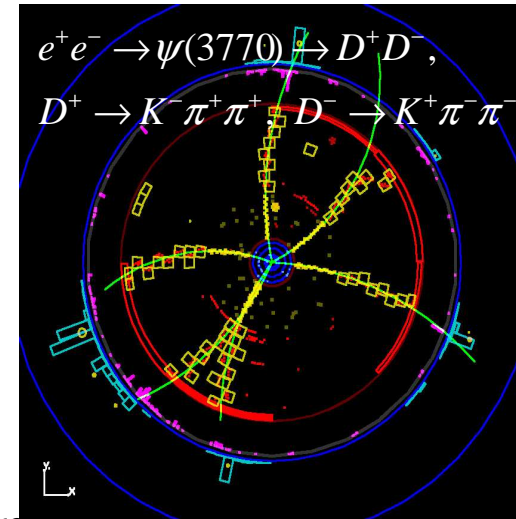
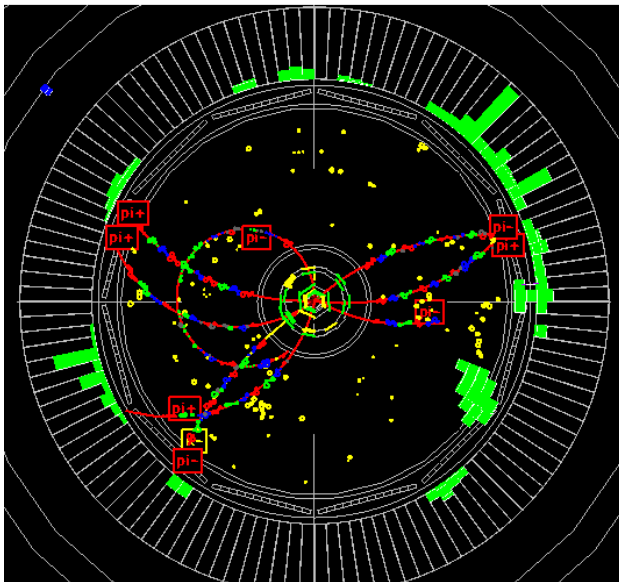


⊖

faible statistique : 281 pb<sup>-1</sup> DD

314 pb<sup>-1</sup> D<sub>s</sub>\*D<sub>s</sub>

cc1

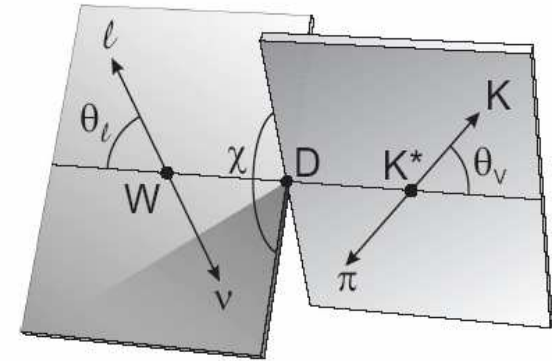


# OVERVIEW

## • $D \rightarrow K\pi e\nu$ :

• 4 body decay  $\rightarrow$  5 variables

$\{ q^2, \cos(\theta_V = \theta_K), \cos(\theta_l), \chi, m_{K\pi} \}$

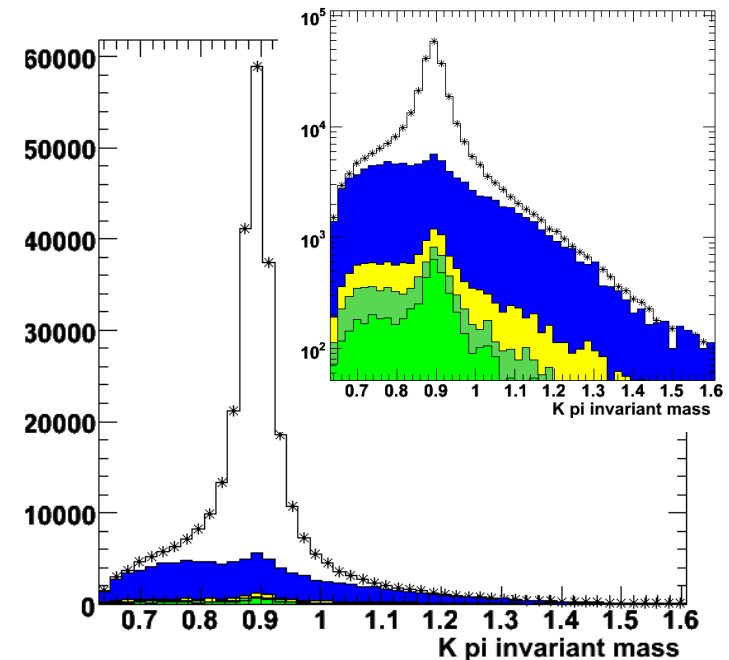


- Canal dominé par  $K_0^*$  ( $J^P = 1^-$ ) mode de désintégration
- 3 f.f. ( $A_1, A_2, V$ )  $\rightarrow$  ( $H_+, H_-, H_0$ )

### But de l'étude:

- Caractériser l'onde S
- mesurer avec le plus de détail possible les facteurs de forme de l'onde P
- Rechercher l'onde D

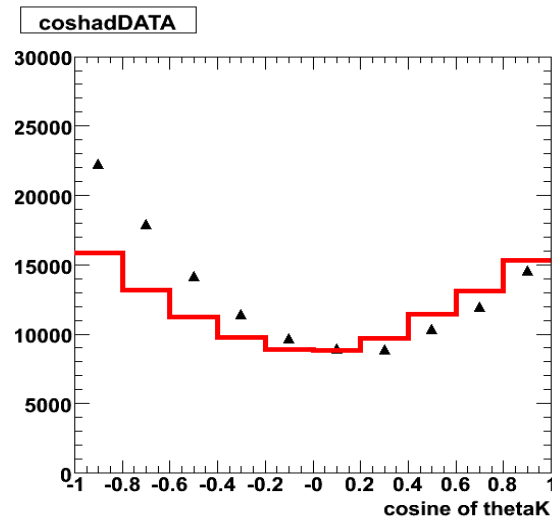
■  $B^0 - B^{0\text{bar}}$   
■  $uds$   
■  $B^+ B^-$   
■  $\text{bkg cc}$



**s + p :**

$$F_1 = F_{1s} e^{i\varphi_s} + F_{1p} e^{i\varphi_p} \cos(\theta_K)$$
$$F_2 = F_{2p} e^{i\varphi_p}$$
$$F_3 = F_{3p} e^{i\varphi_p}$$

$$(F_{1P}, F_{2P}, F_{3P}) \leftrightarrow (H_+, H_-, H_0)$$



□ generic MC signal  
▲ data (bkg soustrait)

**Ce qu'il faut retenir:**

On mesure l'onde S par l'effet d'interference avec l'onde P

## OVERVIEW

Avant l'été dernier, j'ai essayé une méthode pour mesurer le déphasage entre les ondes S et P où on n'a pas besoin de connaître la paramétrisation du f.f. de l'onde S

Idée: Utiliser le rapport entre Moments de variables angulaires

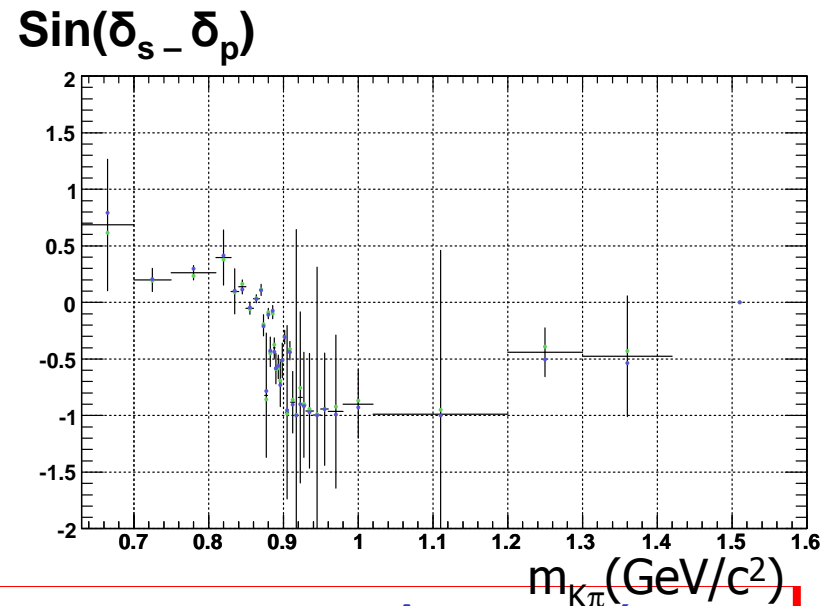
$$\langle I_4 \rangle = \frac{1}{16\pi} \langle F_1 F_{2p} \rangle \cos(\delta_s - \delta_p)$$

$$\langle I_5 \rangle = \frac{1}{4\pi} \langle F_{1s} F_{3p} \rangle \cos(\delta_s - \delta_p)$$

$$\langle I_7 \rangle = \frac{1}{4\pi} \langle F_{1s} F_{2p} \rangle \sin(\delta_s - \delta_p)$$

$$\langle I_8 \rangle = \frac{1}{16\pi} \langle F_{1s} F_{3p} \rangle \sin(\delta_s - \delta_p)$$

$$\sin(\delta_s - \delta_p) = \frac{4\langle I_8 \rangle}{A_{F_{1s}F_{3p}}} = \frac{\langle I_7 \rangle}{A_{F_{1s}F_{2p}}}$$



Malheureusement: Barres d'erreur trop grandes pour pouvoir être compétitif.

Méthode d'étude actuelle: **Fit à 5D** pour mesurer la dépendance dans la masse et le facteur de forme de l'onde S plus les facteurs de forme de l'onde P et la masse du  $K^*_0(892)$

# OVERVIEW

- Base de l'analyse:

- “Untagged analyses”:

- beaucoup de statistique
- Bruit de fond non négligeable

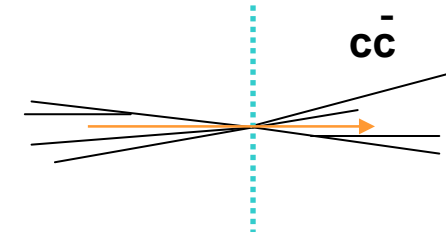
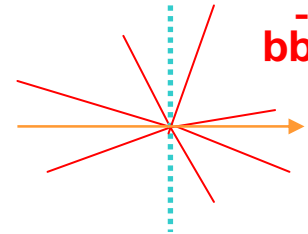
- Evts du continuum

- utiliser des variables “event shape” pour enlever BB's
- utiliser la topologie de l'événement ainsi que variables cinématiques de façon à réduire le bruit de fond CCbar

- Fit cinématique pour extraire  $q^2 = (p_\ell + p_\nu)^2 = (p_{Xc} - p_{Xq})^2$

- Input: énergie manquante dans l'événement et l'estimation de la direction du D

- Data control samples: tester l'efficacité de reconstruction, la résolution, contrôle des systématiques ...



# OVERVIEW

## • Reconstruction de l'évènement :

- Définir 2 hémisphères

Prendre  $\pi^+$ ,  $K^-$ ,  $\ell$  dans le même hémisphère

- Impulsion du lepton  $> 0.5$  GeV

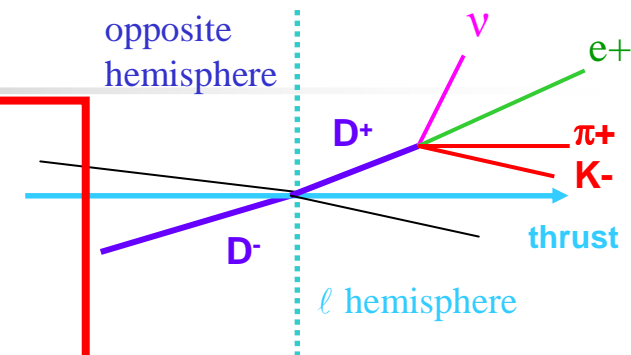
- Calculer direction  $D$  ( $- \mathbf{p}_{\text{all particles} \neq \pi^+, K^-, \ell}$ )

- calculer l'énergie manquante dans l'hémisphère du  $\ell$

- Fitter  $\mathbf{p}_D = \mathbf{p}_{K^+} + \mathbf{p}_{K^-} + \mathbf{p}_\ell + \mathbf{p}_\nu$

- Calculer les variables cinématiques :

$$q^2, \theta_\nu, \theta_\ell, \chi, m_{K\pi}$$



→ fit avec une contrainte  $m_D$

- Réduire le bruit de fond → analyse Fisher ( $b\bar{b}$  and  $c\bar{c}$  events)

- Extraire les paramètres des ff → Maximum log likelihood fit

## Principaux bruits de fond:

BEAUTÉ

$B \rightarrow D$

CHARM

$D^{*+} \rightarrow D^0 \pi^+$  ,  $D^0 \rightarrow K^- e^+ \nu$

$D \rightarrow K^- e^+ \nu$  , fragmentation  $\pi$

$D \rightarrow K^- \pi^+$  , conversion  $e^+$

Comment les enlever: Utilisation de discriminants de Fisher

= Combinaison linéaire d'observables qui maximise la séparation entre le signal et le bruit de fond (BB, CC)

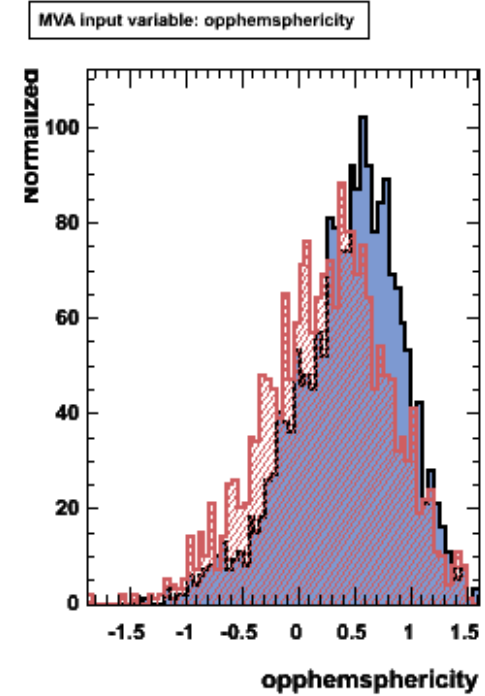
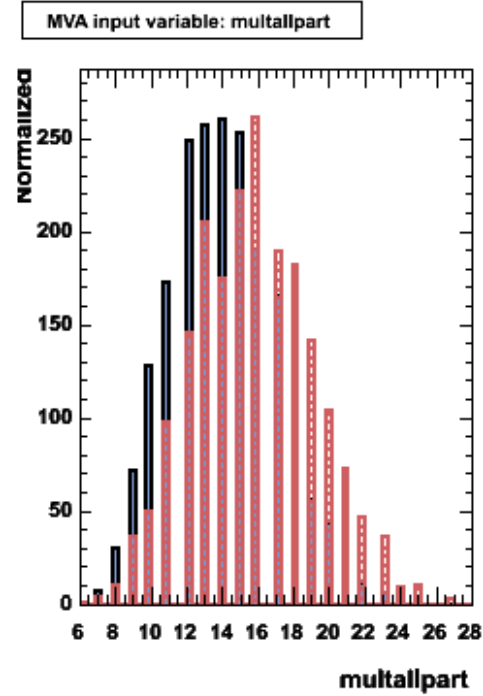
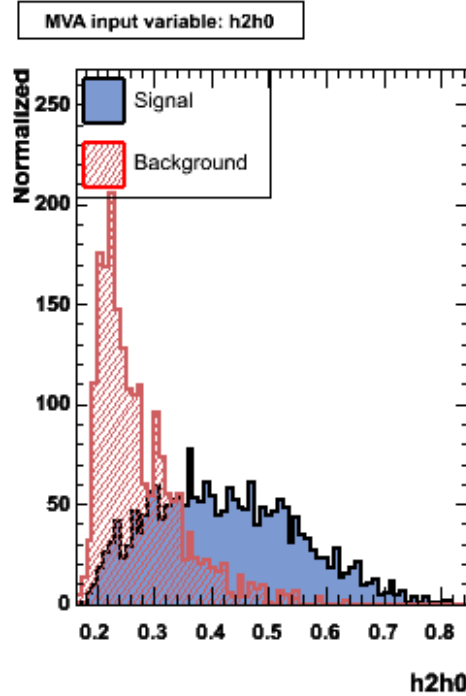
# Bruit de fond BB

Variables de Fisher:

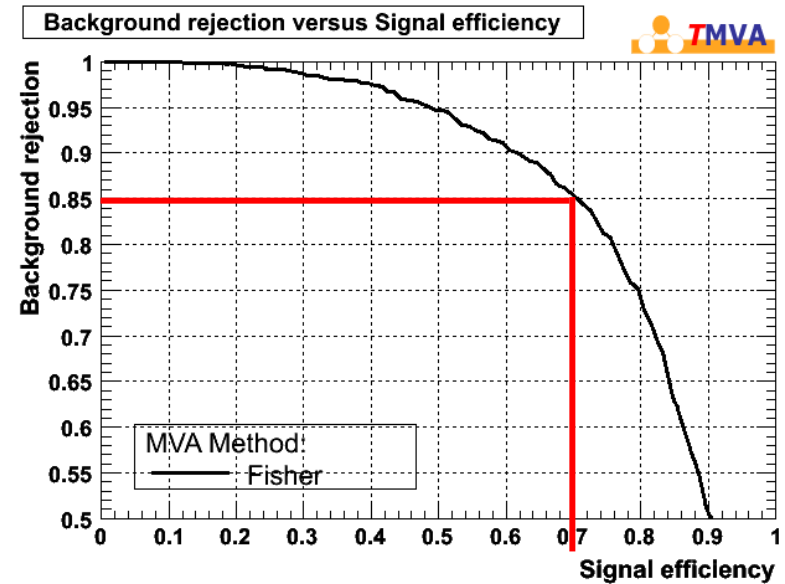
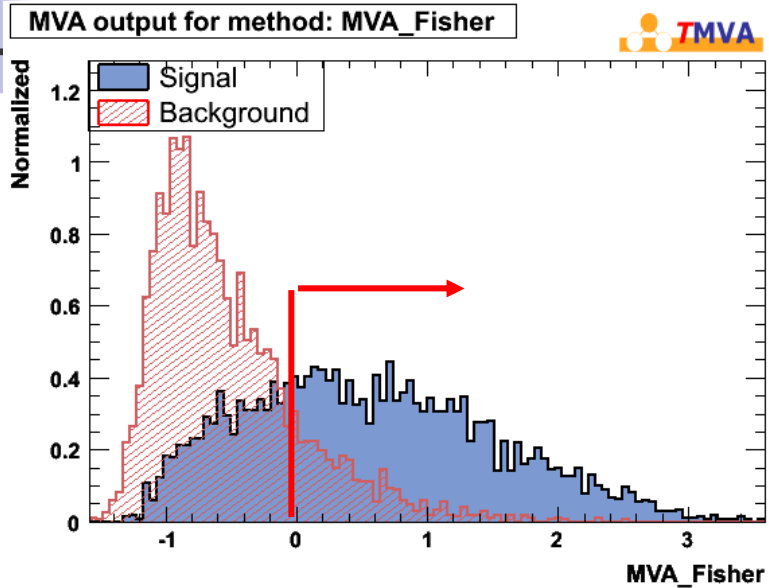
R2

Multiplicité

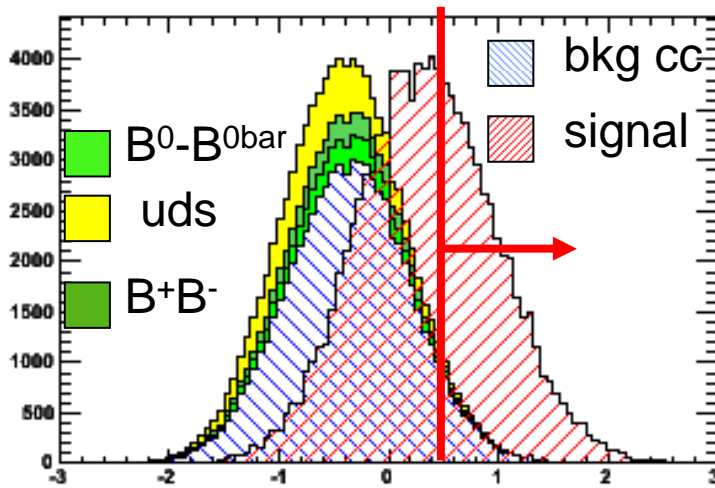
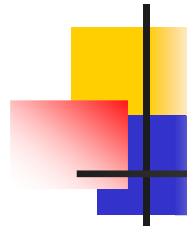
Sphéricité de l'hémisphère opposé



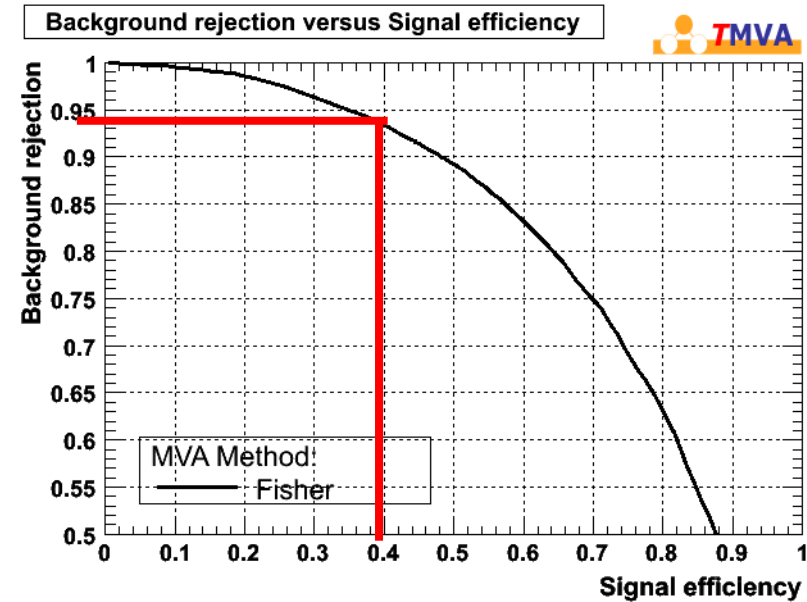
# Bruit de fond BB



- signal efficiency of 0.7
- background rejection of 0.85



signal efficiency 0.4  
c bkg rejection 0.94



non charm bkg wiped out

MC  
for  
100 fb<sup>-1</sup>

	signal	c bkg	Non c bkg
Fisher > 0.5	70 321	26 872	4 692
Fisher > 1.41	8 550	848	204

# Background control

La stratégie pour contrôler le bruit de fond associe les corrections MC et les poids avec un fit des distributions de Fisher pour les données.  
On utilise comme input les distributions Signal/Bkg Fisher CC-bar

## Étapes de l'étude:

- Étudier l'effet des corrections dans les discriminants de Fisher pour WS
- Transposer pour RS et effectuer des corrections dans les variables de SIGNAL
- Fitter data Fisher-cc distribution using as PDF the MC SIG/BKG Fisher-cc distributions

## Pourquoi WS:

Les canaux de désintégration dominants WS & RS cc-BKG sont sensiblement les mêmes, cependant l'hierarchie n'est pas la même et le nombre total d'événements différent

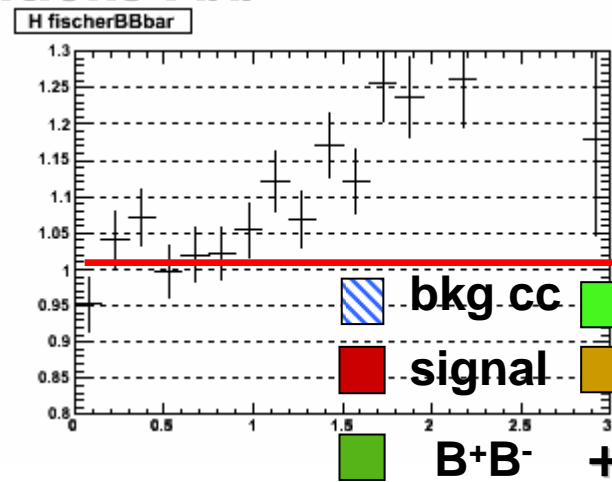
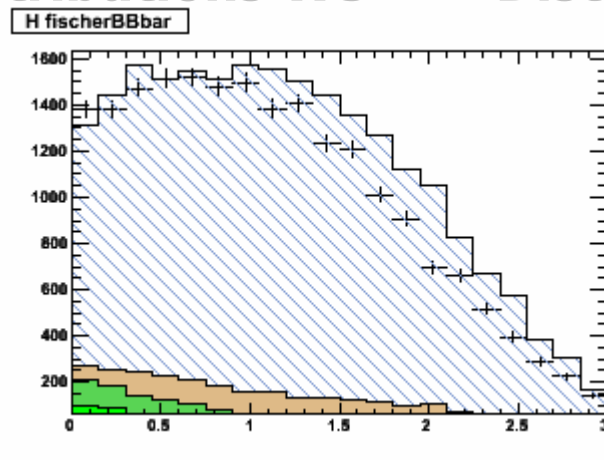
# MC corrections

Les principaux canaux du bruit de fond charmé ont toujours un pion de fragmentation.

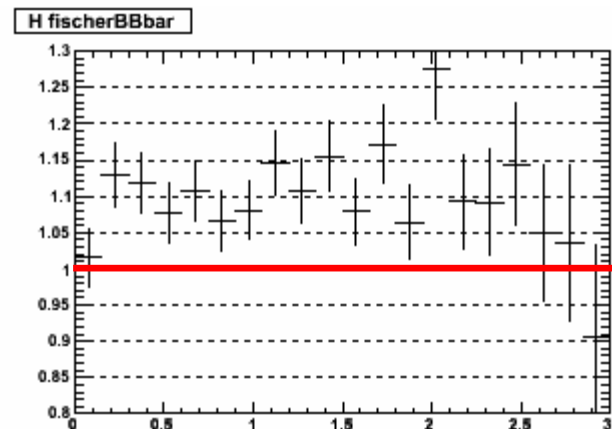
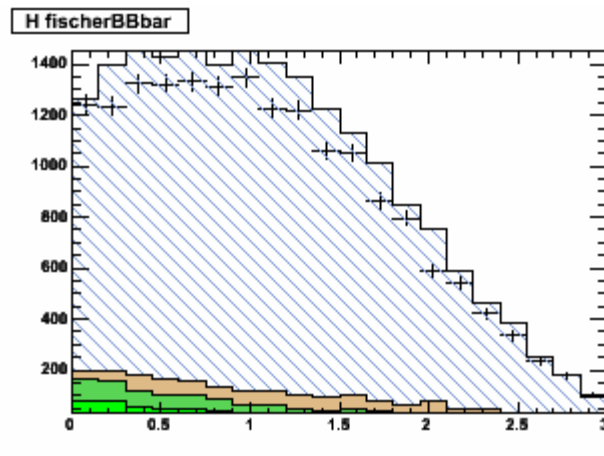
## Distributions WS

## Distributions Fbb

Avant les corrections

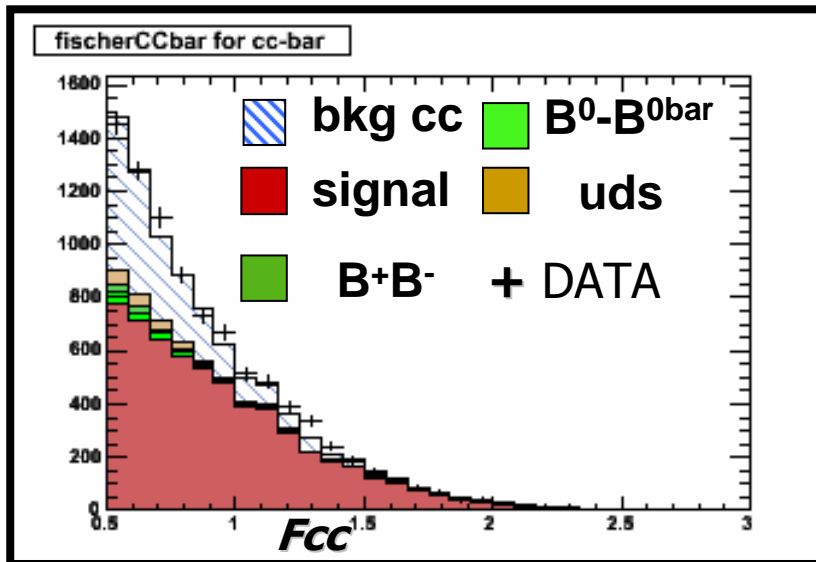


Après les corrections

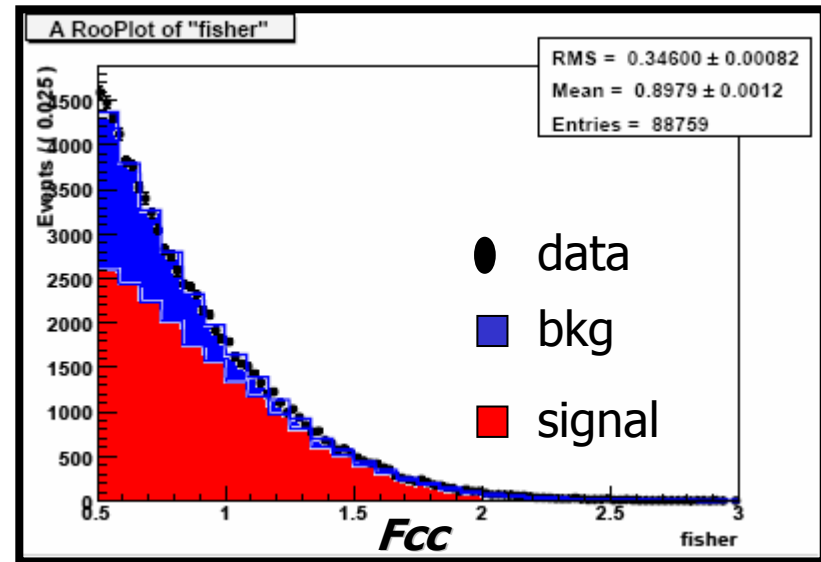


# BKG estimation

Quand on a un bon accord entre le MC et les données expérimentales, on procède à l'évaluation du bruit de fond pour l'analyse



metode A:  
Estimation de bruit de fond Monte Carlo normalisé a la luminosité



metode B:  
Estimation de signal et bruit de fond normalisé au nombre de evenements dans les données

# Fitting procedure

Utiliser 5 bins égaux pour chaque variable reconstruite et effectuer minimisation log-likelihood :

$$\mathcal{L} = - \sum_{i=1}^{nbins} \ln \mathcal{P}(n_i^{data} | n_i^{MC}).$$

Nombre de événements dans bin i

Nombre de événements expectés de MC dans bin i

résultats dans  $n_i^{MC}$  :

- Le nombre de événements bkg estimés à partir de MC (normalisés a la lumi data).
- Le nombre de événements signal expectés se déduit en appliquant un poids **W** au générateur de signal MC

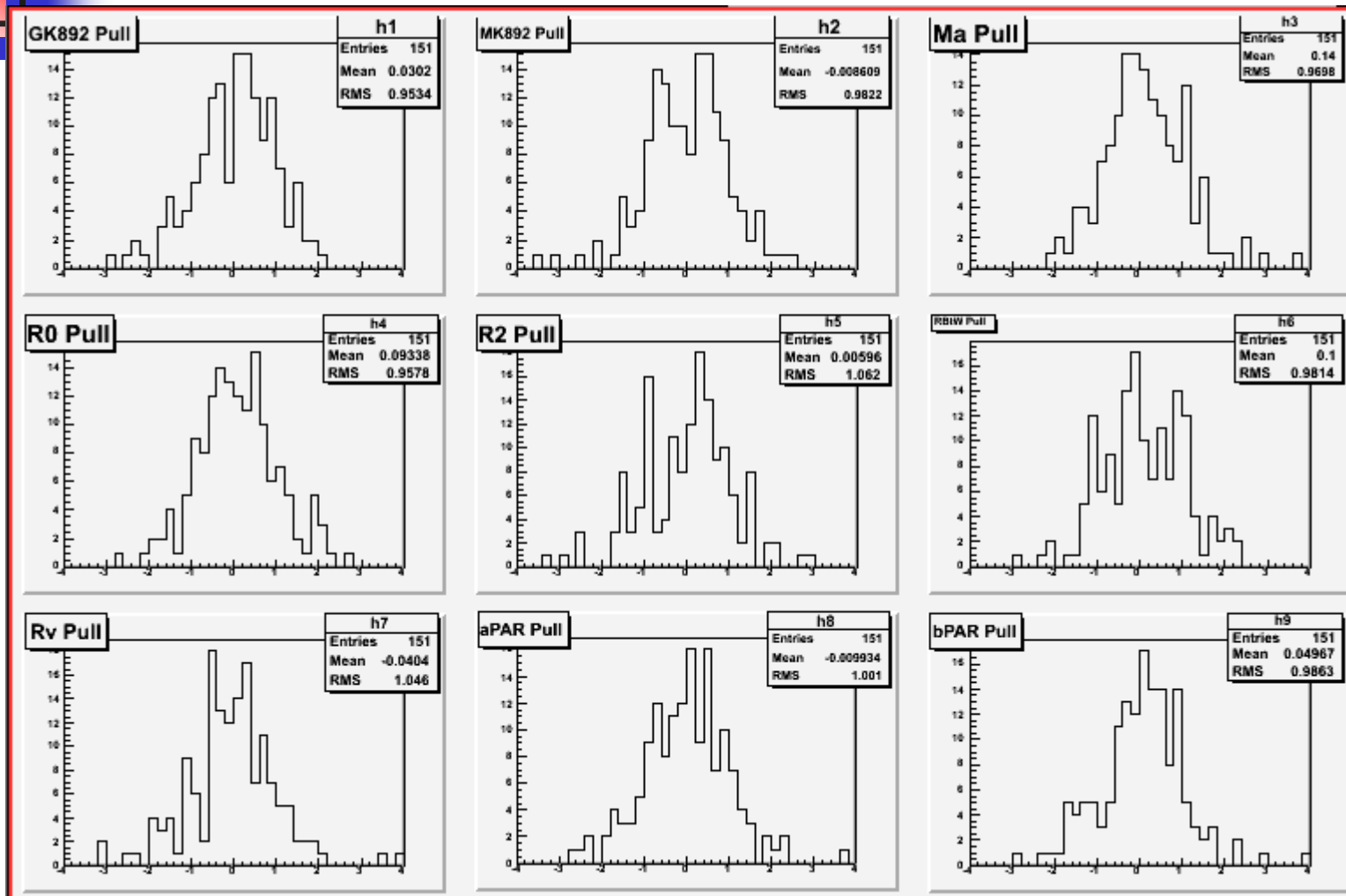
$$n_i^{MC} = N_S \frac{\sum_{j=1}^{n_i^{signal}} w_j(\lambda_k)}{W_{tot}(\lambda_k)} + n_i^{bckg.}$$

$N_S$  est un paramètre

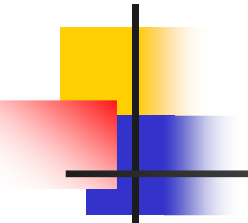
La procedure de fit à été testé avec des simulations TOY

# FIT validation

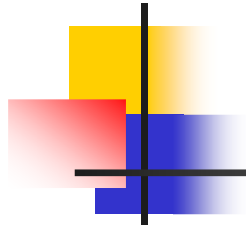
Resultat du fit en 5D sur un échantillon TOY de 40 K de onde S+P avec des valeurs raisonnables pour les paramètres.  
Pas d'effets de reconstruction considérés, pas de bruit de fond



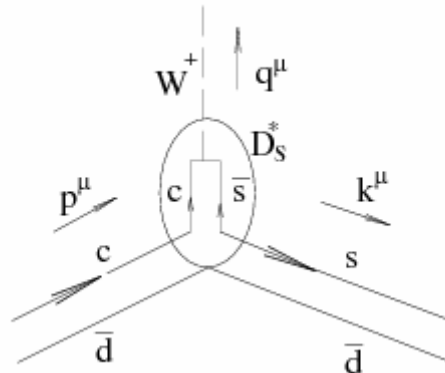
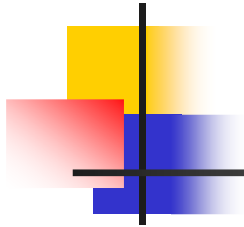
# Conclusions et perspectives

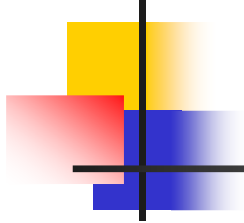


- Les desintégrations semileptoniques offrent un terrain important pour tester LQCD
- Donnent aussi des résultats importants pour les théories de basse énergie
- Dans mon canal, l'heure de fitter les données arrive bientôt
- Merci



## ■ BACK- UP





$$d^5\Gamma \propto (P_{K\pi} P^* / m_{K\pi}) I(m_{K\pi}, q^2, \chi, \cos\theta_l, \cos\theta_K) d^5x$$

$P_{K\pi}$  = momentum of  $(K\pi)$  system in  $D$  c.m.

$P^*$  = momentum of  $K$  in  $(K\pi)$  c.m.

$$I = I_1 + I_2 \cos(2\theta_l) + I_3 \sin^2 \theta_l \cos 2\chi + I_4 \sin(2\theta_l) \cos \chi + I_5 \sin \theta_l \cos \chi + I_6 \cos \theta_l \\ + I_7 \sin \theta_l \sin \chi + I_8 \sin(2\theta_l) \sin \chi + I_9 \sin^2 \theta_l \sin(2\chi)$$

$$I_1 = \frac{1}{4} \left\{ |F_1|^2 + \frac{3}{2} \sin^2 \theta_K (|F_2|^2 + |F_3|^2) \right\}$$

$$I_2 = -\frac{1}{4} \left\{ |F_1|^2 - \frac{1}{2} \sin^2 \theta_K (|F_2|^2 + |F_3|^2) \right\}$$

$$I_3 = -\frac{1}{4} [ |F_2|^2 - |F_3|^2 ] \sin^2 \theta_K$$

$$I_4 = \frac{1}{2} \text{Re}(F_1^* F_2) \sin \theta_K$$

$$I_5 = \text{Re}(F_1^* F_3) \sin \theta_K$$

$$I_6 = \text{Re}(F_2^* F_3) \sin^2 \theta_K$$

$$I_7 = \text{Im}(F_1 F_2^*) \sin \theta_K$$

$$I_8 = \frac{1}{2} \text{Im}(F_1 F_3^*) \sin \theta_K$$

$$I_9 = -\frac{1}{2} \text{Im}(F_2 F_3^*) \sin^2 \theta_K$$

$$I_1 = \frac{1}{4} \left\{ |F_1|^2 + \frac{3}{2} \sin^2 \theta_K (|F_2|^2 + |F_3|^2) \right\}$$

$$I_2 = -\frac{1}{4} \left\{ |F_1|^2 - \frac{1}{2} \sin^2 \theta_K (|F_2|^2 + |F_3|^2) \right\}$$

$$I_3 = -\frac{1}{4} [|F_2|^2 - |F_3|^2] \sin^2 \theta_K$$

$$I_4 = \frac{1}{2} \text{Re}(F_1^* F_2) \sin \theta_K$$

$$I_5 = \text{Re}(F_1^* F_3) \sin \theta_K$$

$$I_6 = \text{Re}(F_2^* F_3) \sin^2 \theta_K$$

$$I_7 = \text{Im}(F_1 F_2^*) \sin \theta_K$$

$$I_8 = \frac{1}{2} \text{Im}(F_1 F_3^*) \sin \theta_K$$

$$I_9 = -\frac{1}{2} \text{Im}(F_2 F_3^*) \sin^2 \theta_K$$

## Interference terms

Each  $I_i$  term has a different combination of angular variables dependence, they are orthogonal states

To extract the phase shift we follow *Pais & Treiman*

$$\int I \cos(\theta_l) \cos(\chi) dq^2 d\cos(\theta_K) d\cos(\theta_l) d\chi$$

$$\int I \cos(\chi) dq^2 d\cos(\theta_K) d\cos(\theta_l) d\chi$$

$$\int I \sin(\chi) dq^2 d\cos(\theta_K) d\cos(\theta_l) d\chi$$

$$\int I \cos(\theta_l) \sin(\chi) dq^2 d\cos(\theta_K) d\cos(\theta_l) d\chi$$

$$\langle I_4 \rangle = \frac{1}{16\pi} \langle F_1 F_{2p} \rangle \cos(\delta_s - \delta_p)$$

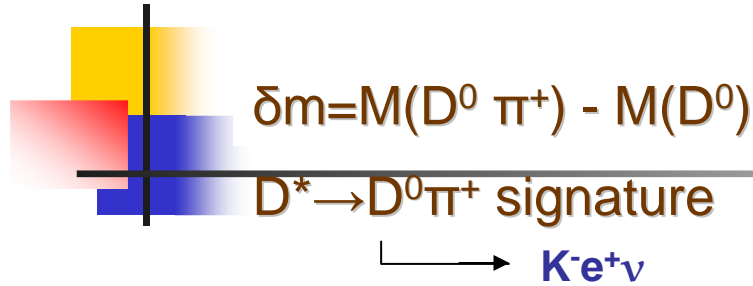
$$\langle I_5 \rangle = \frac{1}{4\pi} \langle F_{1s} F_{3p} \rangle \cos(\delta_s - \delta_p)$$

$$\langle I_7 \rangle = \frac{1}{4\pi} \langle F_{1s} F_{2p} \rangle \sin(\delta_s - \delta_p)$$

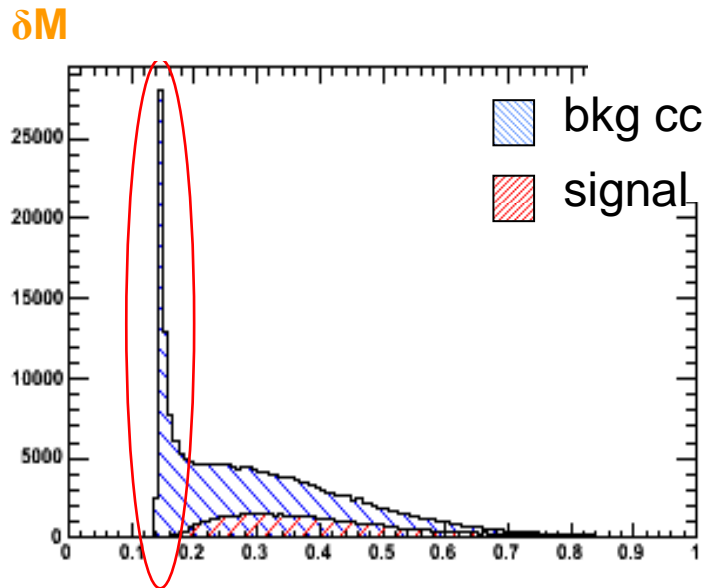
$$\langle I_8 \rangle = \frac{1}{16\pi} \langle F_{1s} F_{3p} \rangle \sin(\delta_s - \delta_p)$$

Only one of these moments is non-zero for each one of these integrations

# C background

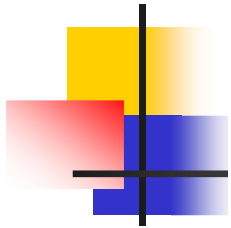


$\delta m > 0.18 \text{ GeV}$   
takes out 27% of bkg cc

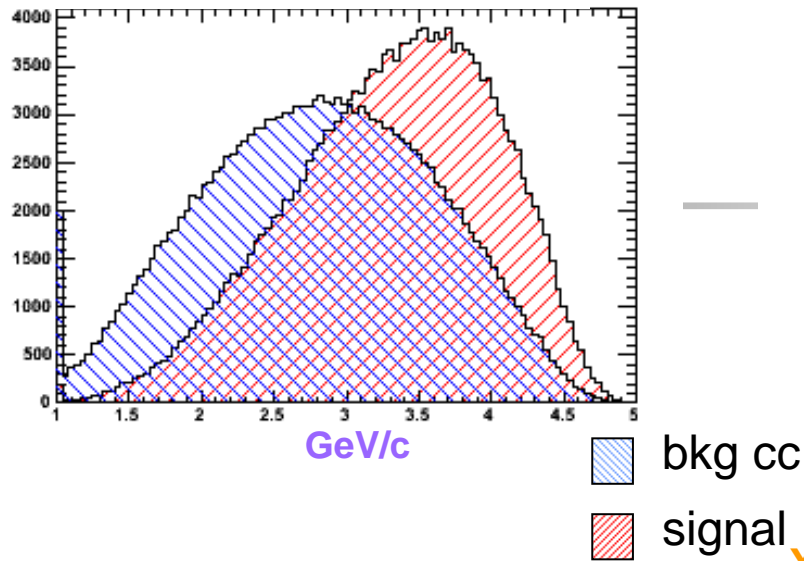


## Training variables for ccbar Fisher:

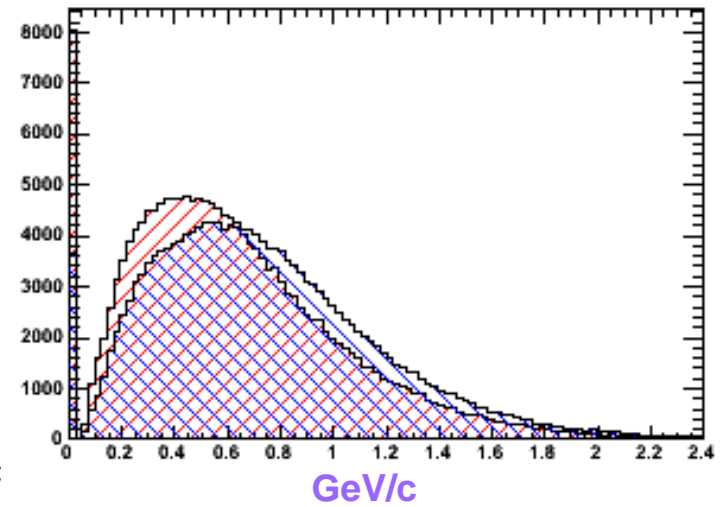
- ✱ Reconstructed momentum of D in c.m.
- ✱ Ratio between track-(beam/D decay) vtx distance("rRatio")
- ✱ D flight significance(=Dflight/error)
- ✱  $\chi^2$  probability for mass constrained fit
- ✱  $K\pi e$  vertex probability
- ✱ spectator system mass spectrum
- ✱ Momentum of leading particle in spectator system



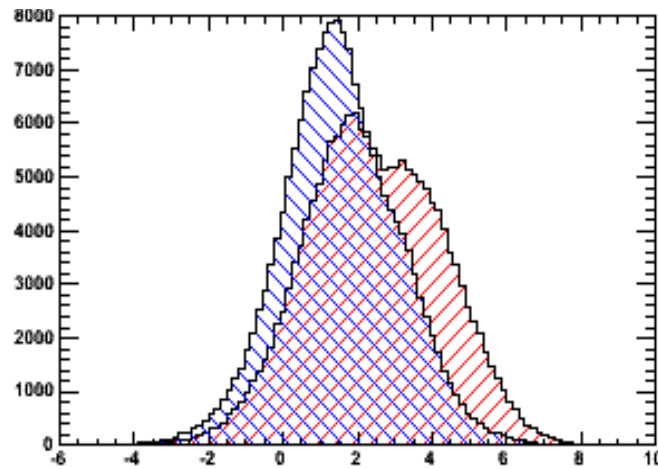
Reconstructed D momentum



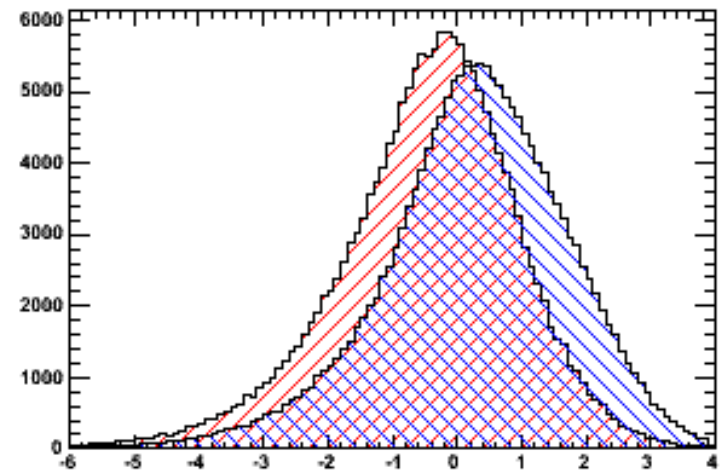
Leading particle momentum

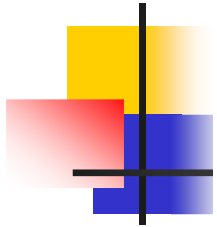


D flight significance

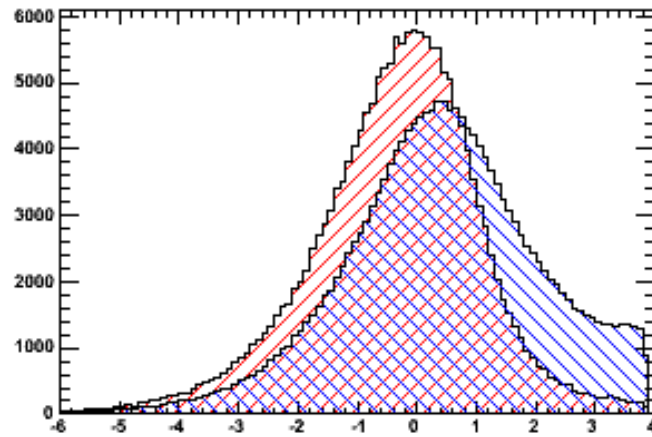


X2 probability for mass constrained fit

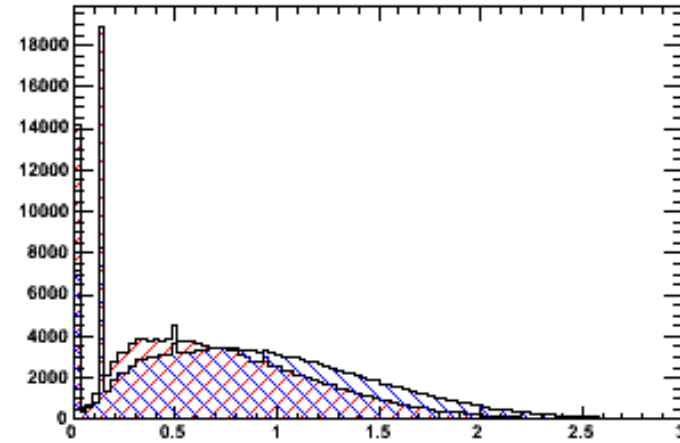




**Kπ vertex probability**

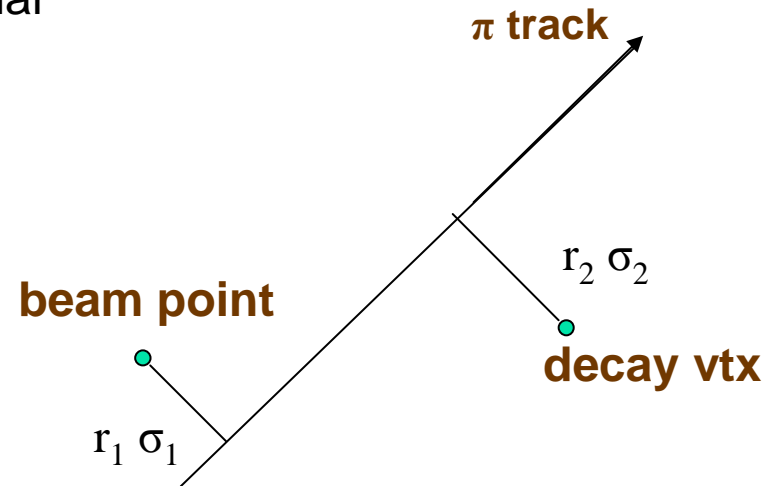
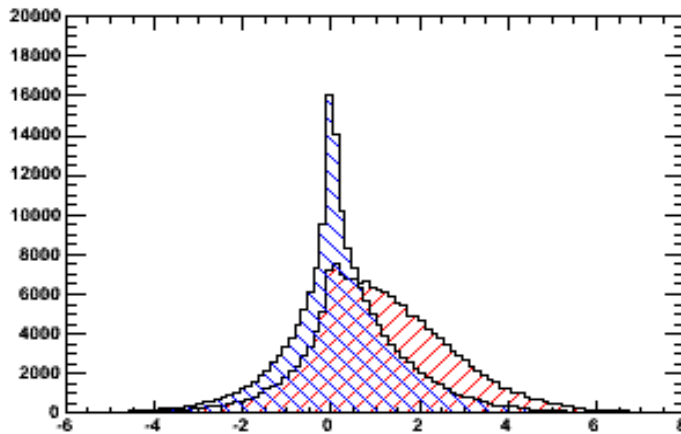


**spectator system mass**

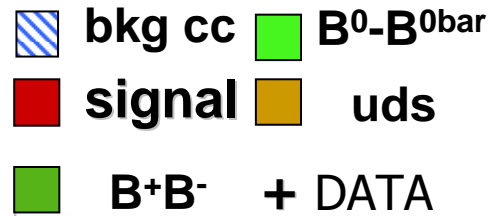
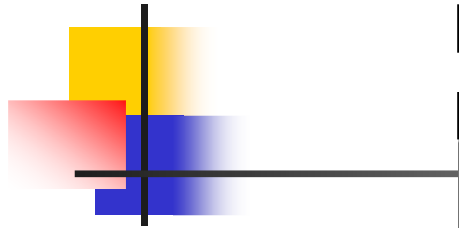


 bkg cc  
 signal

**rRatio**

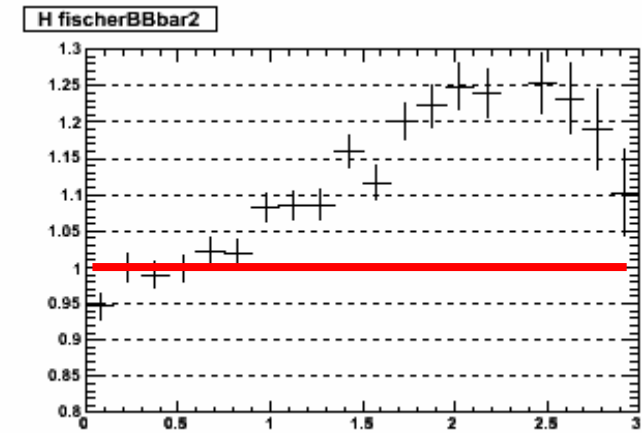
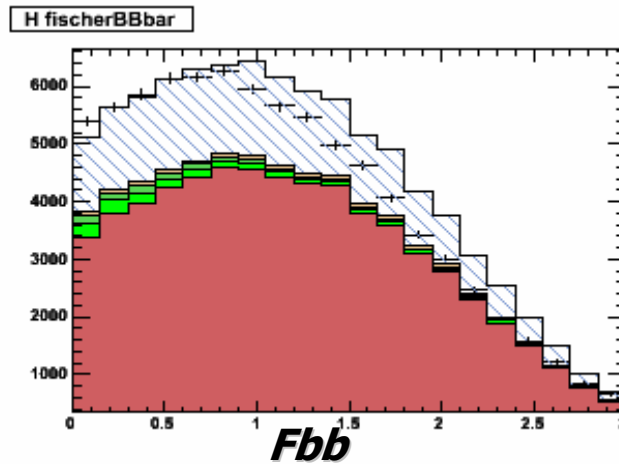


# MC corrections

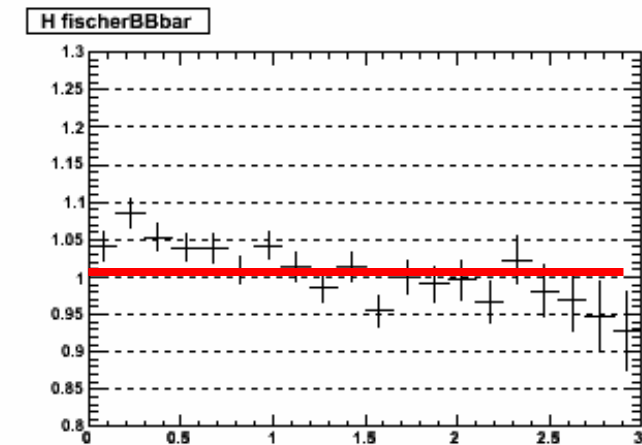
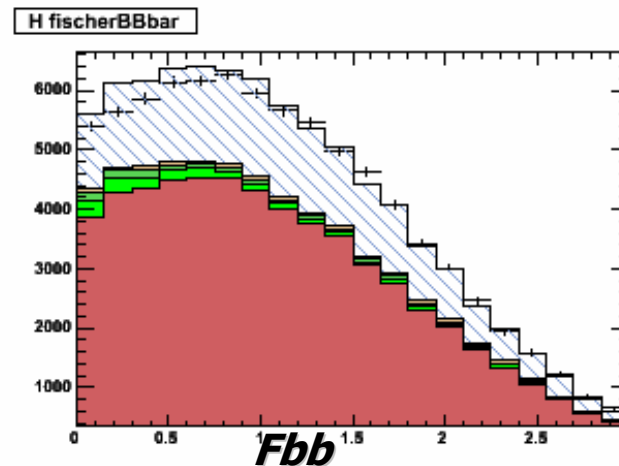


**Fbb distributions**  
**RS distributions**

Before corrections

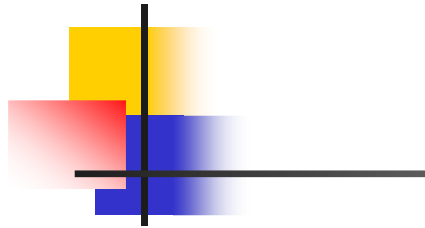


After corrections

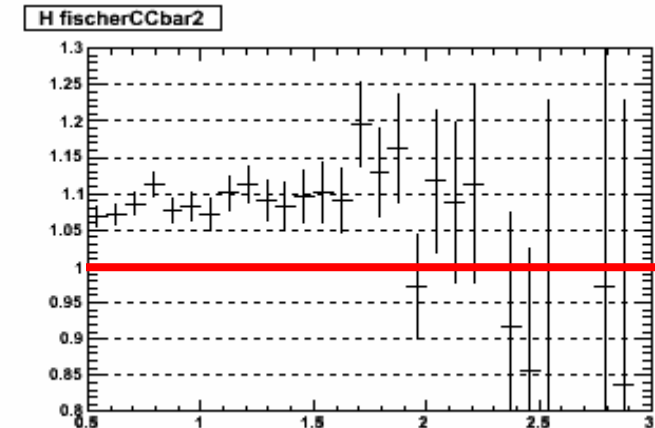
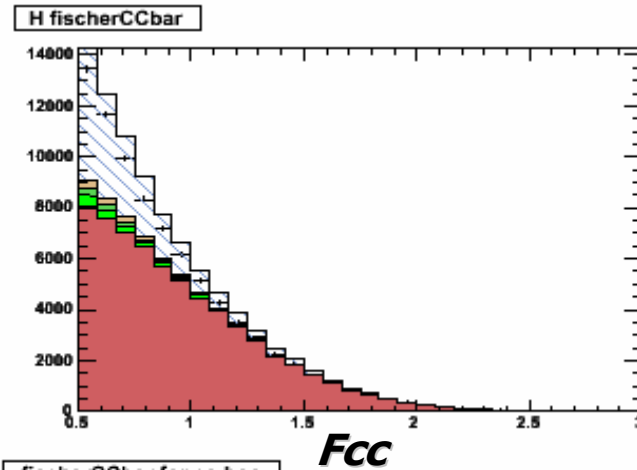


# MC corrections

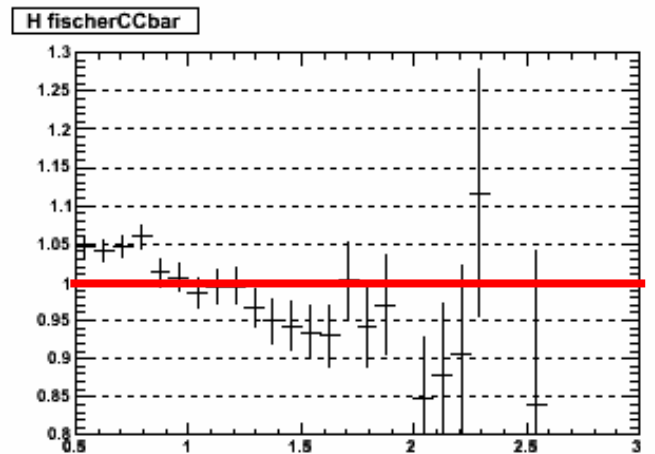
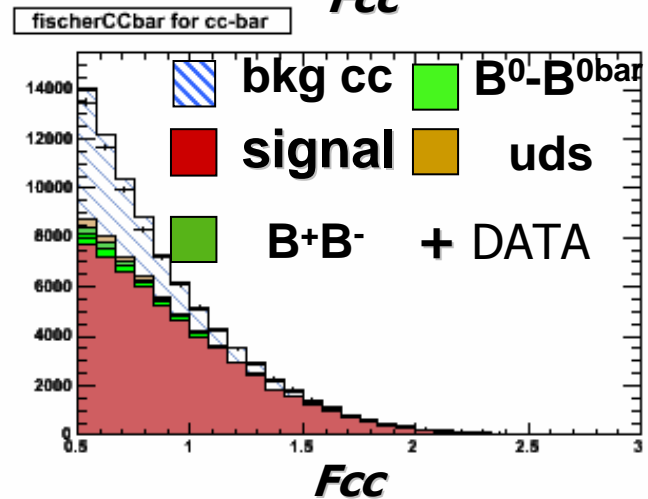
## RS distributions **Fcc distributions**



Before  
corrections



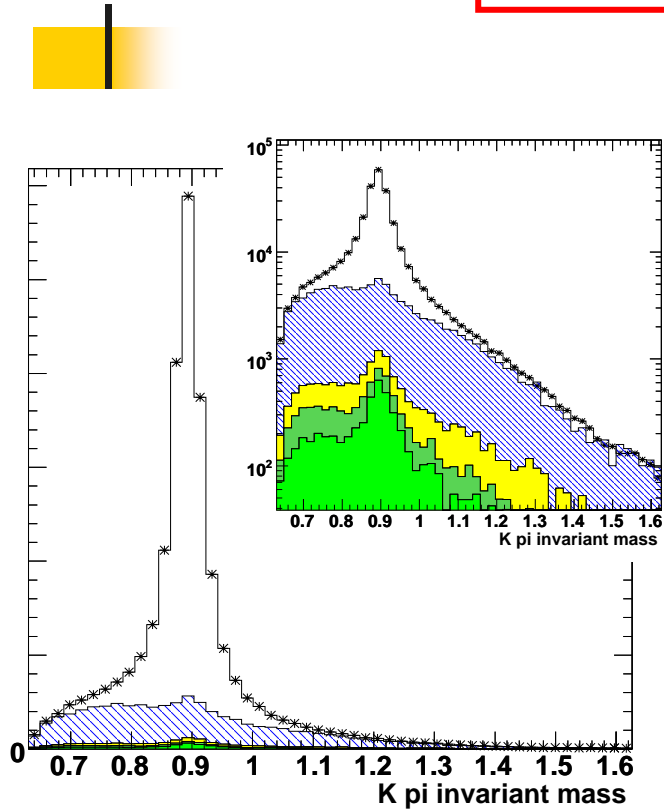
After  
corrections



Good improvement in Fbb,  
Fcc has a less straight shape.  
Signal decay model is not corrected. Signal shape may be dependent of  
decay model. More studies are in progress

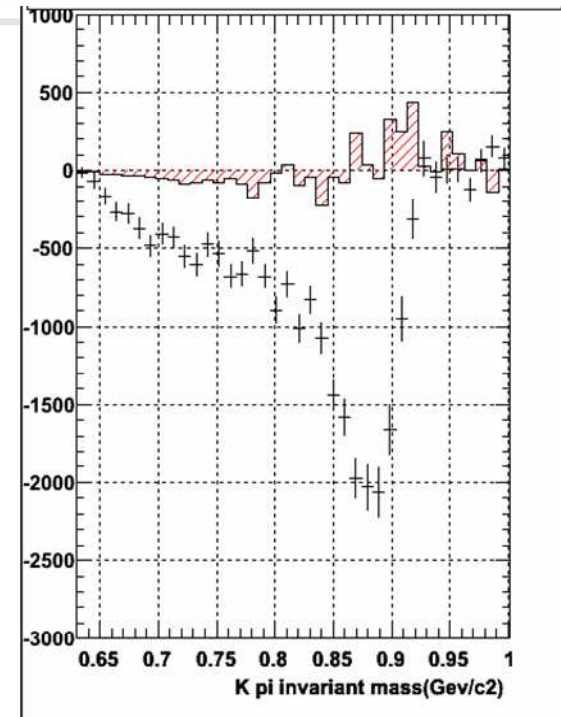
João Costa, IPIC 2007, Dinard 9  
15 Decembre 2007

# BaBar Runs 1-5 data information



- $B^0-B^{0\text{bar}}$
- $uds$
- $B^+B^-$
- $bkg\ cc$

+ Data - bkg     MC signal



With a non optimized background cut selection I get 200k signal events and  $\sim 100k$  bkg events

**EvtGen signal**  
 $K^{*0}, NR, K^*_{1430}$   
**no interference**